

# 铀矿普查勘探的 放射性測量法

B. B. 阿列克賽耶夫 主編

地質出版社

# 鉢矿普查勘探的 放射性測量法

B. B. 阿列克賽耶夫等 主編

程方道 周超凡 譯  
曹祥英 陸家仕

地質出版社

1960·北京

РАДИОМЕТРИЧЕСКИЕ  
МЕТОДЫ  
ПОИСКОВ И РАЗВЕДКИ  
УРАНОВЫХ РУД

ГОСГЕОЛТЕХИЗДАТ  
МОСКВА 1957

本書为苏联 A. Г. 格拉馬科夫、A. И. 尼康諾夫及 T. П. 塔費也夫等在 B. В. 阿列克賽耶夫领导下編写成的。全書分为四个部分：第一部分詳細叙述了放射性勘探方法的物理和地質-地球化学基础；第二部分論述測量方法原理，放射性仪器裝置的原理，放射性觀察結果的整理和实验室測量放射性的方法；第三部分叙述放射性找矿方法及勘探和开采矿床时主要应用的方法及实例；第四部分闡明在各种不同条件下及对放射性矿石进行地質勘探工作的各个不同阶段，綜合应用地球物理方法的基本問題。本書适用于野外和室內从事于地球物理勘探地質工作人員，地球物理研究工作者及教師。

鈾矿普查勘探的放射性測量法

編 者 B. В. 阿列克賽耶夫 等  
譯 者 程方道 周超凡 曹祥英 陸家仕  
出 版 者 地 質 出 版 社  
北京西四羊市大街地質部內  
北京市審刊出版 許可證出字第 050 号  
發行者 新 华 書 店 科 技 發 行 所  
經 售 者 各 地 新 华 書 店  
印 刷 者 北 京 市 印 刷 一 廠

印数(京)1—7000 冊 1960年8月北京第1版  
开本 850×1168 mm 1960年8月第1次印刷  
字数 520,000 印張18 1/2 插頁4  
定价(10)3.16元

# 目 录

原序 ..... 7

## 第一部分 勘探放射性方法的物理和地質原理

第一章 放射性的基本知識 ..... 9

§ 1. 放射性及放射性蜕变規則 (А.Г.格拉馬科夫) ..... 9

§ 2. 天然放射族和元素 (М.М.索柯洛夫) ..... 26

§ 3. 天然放射性物質的 $\gamma$ 射線鑑定 (Г.В.戈爾什科夫) ..... 50

第二章 放射性輻射及与物質的相互作用

(Г.В.戈爾什科夫 С.А.苏彼) ..... 59

§ 4. 帶电粒子的通过物質 ..... 59

§ 5.  $\gamma$  輻射通過物質 ..... 72

§ 6. 宇宙射線 ..... 107

§ 7. 地壳和大气圈中的核反应 ..... 111

第三章 地壳的放射性 (А.И.尼康諾夫) ..... 112

§ 8. 地壳中放射性元素的分布 (А.И.尼康諾夫) ..... 112

§ 9. 岩石中放射性元素的分布 ..... 115

§ 10. 天然水的放射性 ..... 132

§ 11. 大气中的放射性 ..... 135

第四章 鈾及鈾的地球化学 (Д.С.尼柯拉也夫) ..... 140

§ 12. 鈾和鈾地球化学的某些共同的特征 ..... 140

§ 13. 地壳深成作用中鈾和鈾的地球化学 ..... 142

§ 14. 地壳表面風化過程中鈾和鈾的地球化学 ..... 146

§ 15. 关于放射性矿物的基本概念 (А.Я.克雷洛夫) ..... 162

§ 16. 放射性元素矿床的分散暈和分散流 (Н. Н. 索契万諾夫) ..... 166

## 第二部份 測量方法及仪器

測量方法及放射性測量仪器的結構原理 ..... 173

<b>第五章 电离法 (А. П. 雅庫博維奇)</b>	174
§ 17. 电离室的工作原理	174
§ 18. 电离电流的测量	180
<b>第六章 脉冲法 (А. П. 雅庫博維奇)</b>	190
§ 19. 放射性射线充气计数管的结构及作用原理	190
§ 20. 晶体计数器及闪烁计数器	202
§ 21. 脉冲的记录	207
<b>第七章 放射性测量仪器</b>	216
§ 22. 野外的及实验室的辐射仪	216
§ 23. 辐射仪的统计学误差	239
§ 24. 射气测量及发光的仪器	249
§ 25. 仪器校准原理	249
<b>第八章 放射性测量的加工及精度估計</b>	
(Г. П. 塔費耶夫和 Б. Я. 尤法)	253
§ 26. 放射性测量误差的计算	253
§ 27. 在放射性测量中对比分析的应用	254
<b>第九章 实验室的放射性测量方法 (Е. И. 热列茲諾娃)</b>	272
§ 28. 岩石和矿石块样总放射性的测定	273
§ 29. 使用阿尔发方法测定粉末样品的放射性	274
§ 30. 用贝它法确定粉末样品的放射性	277
§ 31. 使用伽玛法测定粉末样品的放射性	283
§ 32. 使用贝它和伽马测量法分析综合性和不平衡的矿石	285
§ 33. 放射性化学分析法	293
§ 34. 放射性照相法	300
§ 35. 实验室放射性测量的准确度 (Б. Я. 尤法和 Е. И. 热列茲諾娃)	302
§ 36. 标准源	307
§ 37. 样品分析法的选择	309
§ 38. 测量检查	310

### 第三部分 普查及勘探方法

<b>第十章 钨矿床的航空<math>\gamma</math>-普查 (Г. С. 斯米尔諾夫)</b>	314
§ 39. 航空 $\gamma$ -法的理论基础	315

§ 40.	飞机放射性測量仪器 .....	326
§ 41.	飞机普查工作方法 .....	332
§ 42.	地面檢查及航空 $\gamma$ -異常的远景評价 .....	347
§ 43.	飞机普查鉻矿床方法的發展和改进 .....	350
<b>第十一章</b>	<b>野外 <math>\gamma</math>-測量 (Б. Я. 尤法) .....</b>	<b>353</b>
§ 44.	$\gamma$ -測量法的基础 .....	353
§ 45.	在野外条件下仪器工作狀況的檢查 .....	361
§ 46.	在地質普查时 $\gamma$ -測量觀測方及結果的解釋 .....	371
§ 47.	汽車 $\gamma$ -測量 (В. А. 阿依达尔奇) .....	382
<b>第十二章</b>	<b>野外射气測量法 (А. Г. 格拉馬柯夫) .....</b>	<b>392</b>
§ 48.	射气測量法的物理基础 .....	392
§ 49.	射气法的数学理論基础 .....	396
§ 50.	确定扩散系数的實驗工作結果 .....	411
§ 51.	在岩石內的放射性射气 .....	414
§ 52.	确定壤中空气內的射气濃度 .....	421
§ 53.	野外工作及結果的解釋 (А. Г. 柯爾契娜) .....	434
<b>第十三章</b>	<b>鉻量測量 (Н. В. 克瓦什涅夫卡姬) .....</b>	<b>448</b>
§ 54.	按水網內的鉻分散流普查鉻矿床 .....	449
§ 55.	研究分散量的方法 .....	455
§ 56.	在鉻量測量中測定样品內鉻的方法及技术 .....	461
<b>第十四章</b>	<b><math>\gamma</math>-測井 (С. А. 苏聶) .....</b>	<b>467</b>
§ 57.	一般知識 (А. И. 尼柯諾夫) .....	467
§ 58.	$\gamma$ -測井的基本理論 .....	469
§ 59.	$\gamma$ -測井圖的定量解釋法 .....	489
§ 60.	进行工作的技术及方法。解釋測井圖的例子 (С. А. 苏聶; А. И. 尼柯諾夫) .....	496
<b>第十五章</b>	<b>在自然埋藏条件下鉻矿石的放射性測量采样 (С. А. 苏聶) .....</b>	<b>511</b>
§ 61.	根据差異效应的具屏 $\gamma$ -采样 .....	512
§ 62.	在自然埋藏条件下应用鉻矿石放射性測量采样的例子 .....	518
§ 63.	当放射性測量采样时矿体几何学的考慮 .....	521

## 第四部份 地球物理方法的綜合应用及在鈾矿床的普查与勘探中决定它們的效果的因素

### 第十六章 在普查及勘探鈾矿床时决定应用地球物理方法

的效果的基本因素 (И. С. 奥仁斯基和 Г. Г. 塔費耶夫)	529
§ 64. 地質因素	529
§ 65. 地貌因素	536
§ 66. 气候因素	538
§ 67. 水文地質因素	539
§ 68. 物理因素	540

### 第十七章 在普查及勘探鈾矿床时地球物理方法的綜合应用

(Г. П. 塔費耶夫和 И. С. 奥仁斯基)	542
§ 69. 放射性測量異常的分类及漏掉矿体的可能原因	542
§ 70. 在普查勘探工作的不同阶段应用地球物理方法的合理綜合及順序	545
§ 71. 綜合应用地球物理方法的例子	548
附录1. 放射性的測量及校准單位	569
附录2. 在实验室及野外放射性測量工作中的保安技术	574
参考文献	577

## 原序

以利用矿产及其围岩在放射性方面的差别为基础，对放射性矿石进行找矿和勘探的地球物理方法，属于勘探放射性测量方法。

勘探地球物理学中这一门的发展，是由蓬勃发展的核动力学对原料之需要所决定的，并且与邻近的科学门类：如放射性元素矿床的地球化学与地質学，放射性和研究放射性辐射的方法学，自动化技术和电子学等等的成就紧密联系。

目前，勘探放射性已经牢固地深入到了找矿勘探和开采的实践工作中去了。

放射性的基本优点就是：获得结果的效能高、速度快，野外和室内的放射性研究精度高，这些优点也就决定了它在解决上述任务中起的主要作用。

近年来，苏联和国外用放射性方法发现了一系列放射性矿石的大矿区和工业矿床。

已出版的一本唯一的资料“地質学附录：放射性地球物理方法（Радиоактивные геофизические методы в приложении к геологии）”（1934年出版）至今已过时了。

近年来出版的勘探地球物理学教科书中，放射性方法很少加以注意，所佔地位也小。

本書旨在弥补地球物理文献中所存在的空白点，預計是供广泛的物探和地質界工程师用，也可作为矿业和地質高等学校專門系里的教材。

编写本書的参加者有科学研究所及生产组织的諸位同志如：Г. В. 戈尔什科夫，А. Г. 格拉馬科夫，Е. И. 热列茲諾娃，Н. В. 克瓦什涅夫斯基，Д. С. 尼柯拉也夫，А. Н. 尼康諾夫，И. С. 奥仁斯基，П. Ч. 普哈里斯基，Г. С. 斯米尔諾夫，М. М. 索柯洛夫，С. А. 苏波江，П. 塔費耶夫，Б. Я. 尤法，А. Л. 雅庫博維奇等。

本書手稿某些章节經由 И. Е. 斯塔里克，В. В. 謝爾宾納，В. И.

巴蘭諾夫等閱讀后提出的一些意見，在編校過程中均已考慮。

本書由四篇組成。第一篇敘述放射性方法的一般物理和地質-地球化學基礎，並且是上述專業範圍內工作的物探和地質人員必備基本知識的綜合，故又具有獨立意義；第二篇敘述測量方法原理，放射性儀器裝置的原則，放射性觀察結果的整理原理和實驗室測量放射性的方法；第三篇敘述放射性找礦方法以及勘探和開採礦床時主要應用的方法。最後，第四篇是闡明在各種不同條件下，以及對放射性礦石進行地質勘探工作的各個不同階段，綜合地應用地球物理法的基本問題。

本書的編著基本上是1954—1955年完成的。

# 第一部分

## 勘探放射性方法的物理和地質原理

### 第一章 放射性的基本知識

#### S 1. 放射性及放射性蜕变規則

##### 1. 放 射 性

凡原子核不稳定，过一些时间能自發地变成其他元素原子核的元素，称为放射性元素。蜕变过程中放出一种特殊的射线；根据其不同的性质而称为 $\alpha$ 、 $\beta$ 或 $\gamma$ 射线。这种現象称为放射性。經過研究后証明， $\alpha$ 射線是氦核， $\beta$ 射線是电子流， $\gamma$ 射線是电磁性的短波輻射。

放射性射線通过物質能引起其中一系列变化。就中有：在放射性射線作用下进行气体的电离，感光乳膠变黑，一系列物質發螢光及其他現象。

放射性輻射具有相当大的能量，輻射被吸收时就放出热，并产生化学作用和生物作用。

現在除了有岩石和水中到处都分散的鉈、鈈、鑪等天然放射性元素外，还可以用人工方法得到各种稳定元素的許多放射性同位素。

放射性核可以發生如下几种蜕变（分裂）：

(1)  $\alpha$ 蜕变。这种蜕变时由核里放出 $\alpha$ 粒子。由于 $\alpha$ 粒子的質量数等于4，原子序数等于2，蜕变后形成的原子核比蜕变前的序数减少2，質量数减少4。

在元素周期系里，这种元素的位置向左移动兩格。

这种規律称为位移法則。

(2)  $\beta$  蜕变并放出电子。这种蜕变时，核里的中子变为質子，由核里飞出一个負电子和小質量的中性粒子，即微中子。核电荷增加，但質量数不变。

新形成的元素在周期系中位置向左移动一格。

(3)  $\beta$  蜕变并放出正电子。这种蜕变时，核里的質子变成中子，由核里飞出一个正电子和一个微中子，电荷减少一，但質量数不变。

新形成的元素在周期系中位置向左移动一格。

(4) 电子俘获。原子核从 K 層 (K 俘获)，或从 L 层 (L 俘获) 或从更远的电子層俘获一个負电子。結果，核內的質子变为中子，从核里飞出一个微中子，而外部电子層中則由于电子从一个轨道跳到另一个轨道而出現特征性的倫琴射綫。这一类放射性蜕变时，核电荷減少一，質量数不变，元素在周期系里向左移动一格。

(5) 同質異能轉变并放出  $\gamma$  光子。这种放射性蜕变的特点是：原子核从一个能級轉变为另一个能級。此时，在元素周期系中不發生任何位移。

(6) 核分裂。由实验研究肯定，用中子幅照鈾核时，某些核就分裂为各个部分。最常見的是鈾核分为兩部分，一部分的質量与另一部分質量之比为 2:3，可是也有其他的比值，直到分裂成为兩個大致相同的碎片为止。

研究后証明， $_{92}^{238}\text{U}^{238}$  只在快中子作用下才分裂，而  $_{92}^{235}\text{U}^{235}$  在快中子和慢中子作用下都能猛烈地分裂。

正如首先由苏联物理学家 K. A. 彼得查克和 Г. Н. 弗列罗夫所証明的，鈾核不仅在快中子和慢中子作用下能分裂，而且它本身在沒有任何外界作用下也能分裂（所謂自發的分裂）。

給定數量的鈾（例如 1 克鈾）中，一半鈾核产生自發分裂所經過的时间  $T$ ，平均可以等于  $1 \times 10^{16}$  年。快中子作用下鈄和鑣的核也能分裂，慢中子作用下鈄的核以及用快中子轟击鈄 232 的核时所得到的鈄 233 的核，也能分裂。核的自發分裂是从鈄那里發現的。

重核不仅在中子作用下进行分裂，而且在硬的光子和快的荷电粒

子（質子，氘核和 $\alpha$ 粒子有数亿个电子伏）作用下也进行分裂。

## 2. 放射物質蛻變的基本規律

實驗研究確定，任何一種簡單的（取單個的）放射物質的原子，都按照指數定律隨着時間而減少。

這種蛻變的性質說明，在某一小段時間里轉變的原子數 $N$ ，與該瞬間存在的原子數和這段時間的長度 $dt$ 成正比，也就是：

$$-dN = \lambda N dt, \quad (I,1)$$

式中比例系數 $\lambda$ 稱蛻變常數①。

例如，假使起始時刻（即 $t=0$ 時）有 $N_0$ 個原子，經過一段時間 $t$ 後，原子數為 $N$ ，那末積分表达式(I,1)， $t$ 的域是從0到 $t$ ， $N$ 的域是從 $N_0$ 到 $N$ ，得到

$$\ln N = \ln N_0 - \lambda t \quad (I,2)$$

或

$$N = N_0 e^{-\lambda t} \quad (I,3)$$

表达式(I,2)表明，利用半對數座標，即在橫坐標軸上標出開始觀察分裂以來的時間，縱坐標則標出原子數的對數，於是得到一條直線，並且蛻變常數 $\lambda$ 等於直線的角度系數，直線則表示 $\ln N$ 隨時間而減小。

從列出的公式中不難看出，蛻變常數 $\lambda$ 的時間量綱為負一次方，因此，蛻變常數 $\lambda$ 一般用負一次方年、晝夜、小時、分或秒表示。

為了舉例解釋放射蛻變的基本規律，用圖1表示氮的蛻變（曲線A）和積累（曲線B）。

根據圖2上所示曲線的角度系數，可以測定氮的蛻變常數。

除了蛻變常數以外，還有下列兩個數值可以表徵放射性元素原子蛻變的速度，即原子的半衰期 $T$ 和平均壽命 $\tau$ 。

某種放射物質蛻變掉一半所需的一段時間稱為該放射物質的半衰期。以半衰期 $T$ 代替 $t$ 代入表达式(I,2)中，而代替 $N$ 的是與該段時間相應的數值 $N = \frac{N_0}{2}$ 於是：

①有時 $\lambda$ 也稱做放射性常數或衰變常數

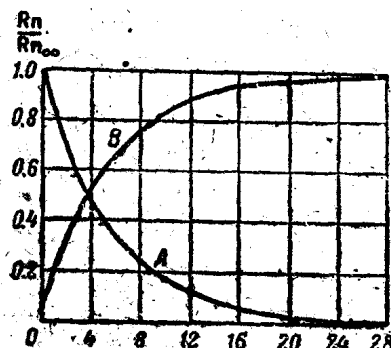


圖 1. 氡的蛻變和积累  
 $R_n$ —該瞬間氡的数量； $R_{n\infty}$ —氡的平衡数量； $t$ —时间，以秒計

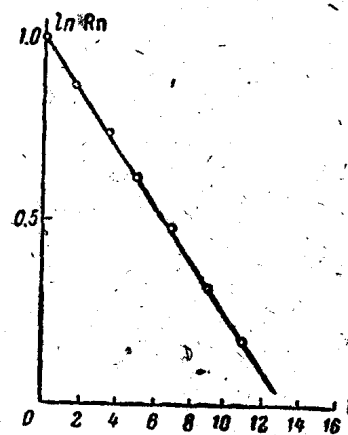


圖 2. 氡的蛻變 (半對數比例尺)  
 $\ln R_n$ —氡的数量的对数； $t$ —一开始蛻变以来的时间，以晝夜計

$$T = \frac{\ln 2}{\lambda} = \frac{0.693}{\lambda} \quad (I, 4)$$

同一种放射物質之各種不同原子的寿命是不相同的。因此，蛻變速度還可以用原子的平均寿命表示。

用  $dN$  表示介于  $t$  與  $t+dt$  之間的一段時間  $dt$  內蛻變的原子數。這將是在時間  $t$  內存在的一些原子。將  $t$  乘上  $dN$ ，求得所研究的一組原子存在的“全部時間”。从 0 到  $\infty$  累計所有  $t$  值的乘積  $tdN$ ，並將所有原子的全部壽命除原子的總數  $N_0$ ，求得該放射性元素之原子的平均壽命  $\tau$ 。由上述得知，測定  $\tau$  用下列表達式

$$\begin{aligned} \tau &= \frac{1}{N_0} \int_0^\infty t dN = \frac{1}{N_0} \int_0^\infty t \lambda N dt = \frac{1}{N_0} \int_0^\infty t \lambda N_0 e^{-\lambda t} dt = \\ &= \int_0^\infty t \lambda e^{-\lambda t} dt = \frac{1}{\lambda}. \end{aligned} \quad (I, 5)$$

將表達式  $\int t \lambda e^{-\lambda t} dt$  分部積分。假定  $\lambda t = u$ ， $e^{-\lambda t} ds = dv$ ，則  $\int t \lambda e^{-\lambda t} dt =$

$$-e^{-\lambda t} t + \int e^{-\lambda t} dt = \frac{1}{\lambda}.$$

由表达式(I,4)和(I,5)得

$$T = \tau \cdot \ln 2 \quad (I,6)$$

和

$$\tau = \frac{T}{\ln 2} = 1.443 T. \quad (I,7)$$

某些放射性物质，如 RaC 和一系列其他物质，能同时发生  $\alpha$  和  $\beta$  蜕变。

这时蜕变的总常数由放射性物质(如 RaC)的总减少值中求得，总减少值由下列总和确定

$$dN = dN_1 + dN_2, \quad (\alpha)$$

式中  $dN_1$ ——第一次蜕变时在时间  $dt$  内蜕变的原子数；

$dN_2$ ——第二次蜕变时在时间  $dt$  内蜕变的原子数。

显然，

$$-dN_1 = \lambda_1 N dt, \quad -dN_2 = \lambda_2 N dt, \quad (\beta)$$

式中  $N$ ——蜕变复杂的物质(例如 RaC)的原子总数。

由表达式( $\alpha$ )及( $\beta$ )中得

$$-dN = (\lambda_1 + \lambda_2) N dt.$$

因此，总的过程将服从于一般的指数定律，并且也能确定它的蜕变常数和半衰期。

现确定相等于十个半衰期的时间内未蜕变掉的放射性物质之数量。经过一个半衰期后，初原子数  $N_0$  剩下了一半，经过两个半衰期后剩下， $\frac{1}{4} N_0 = \frac{1}{2^2} N_0$ ，经过了十个半衰期后则剩下， $\frac{1}{2^{10}} N_0 = \frac{1}{1024} N_0$ ，或者接近于初原子数量的千分之一。

### 3. 放射现象中的统计涨落

放射性蜕变的指数规律是一种统计规律①；蜕变的原子数愈多，

① 例如参阅 Э. В. Шпольский. Атомная физика, т. II, стр. 415. Гостехиздат, 1951, Э. Ферми. Лекции по атомной физике. ил., М., 1952; М. Кюри. Радиактивность. Гостехиздат, М.—Л., 1947.

应用这种規律的精度就愈大。根据或然率理論，放射性蜕变时应当觀察到与指数定律之偏差，即所謂放射漲落或起伏，結果，任意一种放射性物質在相同時間間隔內放出的粒子数目均不相同。

假設某种放射性物質的原子数有  $N$  个，它在觀測時間內的減少值可以忽略。

把全部觀測時間分为一系列較小的時間間隔  $t$ 。

显然，在時間  $t$  內蜕变的原子数  $M$  平均为  $M = \lambda N t$ 。

实測时，在相等時間間隔內所蜕变的原子数各不相同。

用  $\xi$  表示絕對偏差（起伏），可以写出： $m = M \pm \xi$ ，并且絕對值  $\xi$  可以是各种不同的，而大量偏差的代数和將趋近于零。

根据一系列或然率理論的比值可以証明，在時間  $t$  內  $m$  个原子蜕变的或然率。因而也就是  $N-m$  个原子未蜕变的或然率由普阿松公式确定

$$W(m) = \frac{M^m}{m!} e^{-M} \quad (I,8)$$

若該時間內放出的粒子数  $m$  非常多，那末  $m = M$  时的或然率  $W(m)$  則最大。該最大值附近的或然率的分配可以用高斯公式表示

$$W(m) = \frac{1}{\sqrt{2\pi M}} e^{-\frac{(M-m)^2}{2M}} \quad (I,9)$$

这些公式对于正确估計輻射源的放射性極为重要，因为輻射源的放射性与一定時間間隔內所放出的平均粒子数成正比。

圖 3 表示放射性物質放出粒子或然率的分配曲線，該物質平均每秒鐘放出 5 个粒子。当放射性物質在被觀測的一秒內一个粒子也沒有放出时，則或然率不等于零。

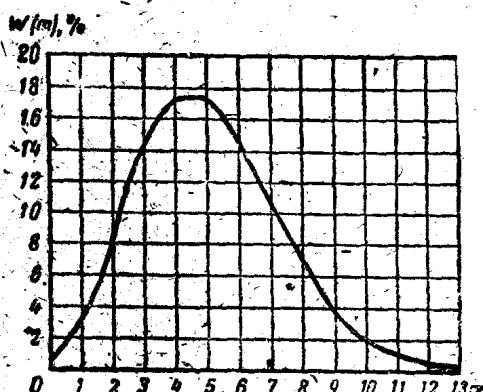


圖 3. 蜕变或然率的分配

約為 1%。換句話說，如果連續觀測 100 秒鐘，則其中有 1 秒鐘可能沒有粒子。5 個和 4 個粒子出現的或然率在理論上是相同的。1 秒鐘放出 5 個以上粒子的機會可能較多。1 秒鐘出現 10 個粒子的或然率約為 2%。

可以證明，

$$\xi = \pm \sqrt{N\lambda t} = \pm \sqrt{M} \quad (I, 10)$$

因此，絕對或然統計起伏的值等於該時間間隔內放出的粒子平均數的方根。

相對起伏( $\epsilon$ )由下式測得

$$\epsilon = \frac{\xi}{M} = \frac{\sqrt{M}}{M} = \frac{1}{\sqrt{M}} \quad (I, 11)$$

由上列公式看出，絕對起伏(誤差)隨着蛻變原子或被放出的粒子數的增長而增大，可是相對起伏却隨着觀測到的粒子數的增加而減小。

當  $M$  很大時，可以近似地認為

$$\sqrt{M} \approx \sqrt{m}$$

且

$$\frac{1}{\sqrt{M}} \approx \frac{1}{\sqrt{m}}$$

應注意，公式 (I, 10) 和 (I, 11) 確定的是或然起伏，而不是可能起伏，後者也可能大於前者。其次應當考慮到一種情況，當  $M$  很小時，用  $M$  代替  $m$ ，所造成的已不是很小的誤差，而是很大的誤差。

到現在為止，還沒有發現那些現象會嚴重地影響地殼中存在的放射性元素蛻變速度 (A. П. 基利科夫等，1934)。

近年來，以 K 俘獲法使鈹蛻變的研究實驗證明：這些蛻變的速度與鈹的化學化合物性質有關。其中尤其是確定了  $\text{BeO}$ 、 $\text{BeF}_2$ 、 $\text{Be}$  和  $\text{Be}^{++}$  等化合物蛻變速度中的一些小差別。

鈹的蛻變速度在壓力為  $10^6$  大氣壓時，比正常大氣壓下大 0.025%。

上述實驗及其他一系列實驗說明，文獻中時有硬說放射性蛻變的

而大速度与外界条件“原則上”无关，是不符合实验資料的。

同时，現在大家知道地壳中發生的原子核作用，都認為其影响沒有重大的实际意义，由此可知，地球的自然生命过程中，放射性蜕变的速度实际上可当作是常数（斯塔里克，1952）。

#### 4. 放射性蜕变的各种不同情况

##### (1) 兩种放射性物質的蜕变

假定有兩种相繼蜕变的放射性物質。在这种情况下第一种物質常称为物質，第二种称为女物質。

現在研究由第一种物質产生第二种物質的各种情况。

設在时刻  $t$ ，第一种物質有  $N_1$  个原子，第二种物質有  $N_2$  个原子。第一种和第二种物質的蜕变常数分別用  $\lambda_1$  和  $\lambda_2$  表示。显然，第一种物質在單位時間內蜕变的原子数在时刻  $t$  等于

$$\frac{dN_1}{dt} = -\lambda_1 N_1 \quad (a)$$

設在起始时刻第一种物質的原子为  $N_{0.1}$ ，將方程式(a)积分后得

$$N_1 = N_{0.1} e^{-\lambda_1 t} \quad (b)$$

現在來討論第二种物質的蜕变。若第一种物質的每一个蜕变原子能形成一个第二种物質的原子，則單位時間內由第一种物質所形成的、第二种物質的原子数，在时刻  $t$  等于  $\lambda_1 N_1$ ；然而，由第一种物質产生第二种物質的原子时，第二种物質的原子也同时进行蜕变。單位時間內第二种物質蜕变的原子数將等于  $\lambda_2 N_2$ 。由此在时刻  $t$  第二种物質积累的速度由下式确定

$$\frac{dN_2}{dt} = \lambda_1 N_1 - \lambda_2 N_2 \quad (I, 12)$$

上式中將相当于时刻  $t$  的值  $N_{0.1} e^{-\lambda_1 t}$  代替  $N_1$ ，并把  $-\lambda_2 N_2$  移至等式左边，得

$$\frac{dN_2}{dt} + \lambda_2 N_2 = \lambda_1 N_{0.1} e^{-\lambda_1 t} \quad (I, 13)$$

方程式(I, 13)的一般解为：

$$N_2 = \left( N_{0.2} - \frac{\lambda_1 N_{0.1}}{\lambda_2 - \lambda_1} \right) e^{-\lambda_2 t} + \frac{\lambda_1 N_{0.1}}{\lambda_2 - \lambda_1} e^{-\lambda_2 t}$$

或